

# Quatérnions e Rotações

Uma Jornada pela Álgebra, Geometria e Topologia

Claudio Gorodski

Disciplina Panorama da Matemática

IME-USP

18 e 23 de novembro de 2020

Consideremos o corpo  $\mathbb{C}$  dos complexos:

Consideremos o corpo  $\mathbb{C}$  dos complexos: Dados  $z_1 = a_1 + ib_1$ ,  
 $z_2 = a_2 + ib_2 \in \mathbb{C}$ , temos  $|z_1 z_2|^2 = |z_1|^2 |z_2|^2$ .

Consideremos o corpo  $\mathbb{C}$  dos complexos: Dados  $z_1 = a_1 + ib_1$ ,  
 $z_2 = a_2 + ib_2 \in \mathbb{C}$ , temos  $|z_1 z_2|^2 = |z_1|^2 |z_2|^2$ . Usando  
 $z_1 z_2 = a_1 a_2 - b_1 b_2 + i(a_1 b_2 + a_2 b_1)$ , obtemos:

Consideremos o corpo  $\mathbb{C}$  dos complexos: Dados  $z_1 = a_1 + ib_1$ ,  $z_2 = a_2 + ib_2 \in \mathbb{C}$ , temos  $|z_1 z_2|^2 = |z_1|^2 |z_2|^2$ . Usando  $z_1 z_2 = a_1 a_2 - b_1 b_2 + i(a_1 b_2 + a_2 b_1)$ , obtemos:

$$(a_1^2 + b_1^2)(a_2^2 + b_2^2) = (a_1 a_2 - b_1 b_2)^2 + (a_1 b_2 + a_2 b_1)^2.$$

Consideremos o corpo  $\mathbb{C}$  dos complexos: Dados  $z_1 = a_1 + ib_1$ ,  
 $z_2 = a_2 + ib_2 \in \mathbb{C}$ , temos  $|z_1 z_2|^2 = |z_1|^2 |z_2|^2$ . Usando  
 $z_1 z_2 = a_1 a_2 - b_1 b_2 + i(a_1 b_2 + a_2 b_1)$ , obtemos:

$$(a_1^2 + b_1^2)(a_2^2 + b_2^2) = (a_1 a_2 - b_1 b_2)^2 + (a_1 b_2 + a_2 b_1)^2.$$

No caso de *inteiros*, obtemos:

$$\begin{aligned} & (\text{soma de dois quadrados}) \times (\text{soma de dois quadrados}) \\ & = (\text{soma de dois quadrados}) \quad (\text{Diofanto, séc. III}) \end{aligned}$$

Consideremos o corpo  $\mathbb{C}$  dos complexos: Dados  $z_1 = a_1 + ib_1$ ,  $z_2 = a_2 + ib_2 \in \mathbb{C}$ , temos  $|z_1 z_2|^2 = |z_1|^2 |z_2|^2$ . Usando  $z_1 z_2 = a_1 a_2 - b_1 b_2 + i(a_1 b_2 + a_2 b_1)$ , obtemos:

$$(a_1^2 + b_1^2)(a_2^2 + b_2^2) = (a_1 a_2 - b_1 b_2)^2 + (a_1 b_2 + a_2 b_1)^2.$$

No caso de *inteiros*, obtemos:

$$\begin{aligned} &(\text{soma de dois quadrados}) \times (\text{soma de dois quadrados}) \\ &= (\text{soma de dois quadrados}) \quad (\text{Diofanto, séc. III}) \end{aligned}$$

Notemos que não vale para soma de três quadrados:

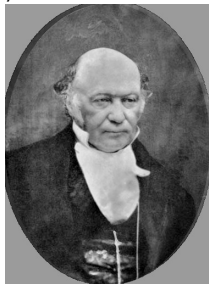
$$(1^2 + 1^2 + 1^2)(0^2 + 1^2 + 2^2) = 3 \times 5 = 15 \neq \text{soma de três quadrados.}$$

Existem “números tri-dimensionais?”



Existem “números tri-dimensionais?” Em outras palavras, existe uma multiplicação em  $\mathbb{R}^3$ ?

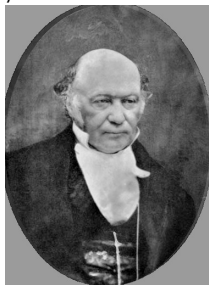
Existem “números tri-dimensionais?” Em outras palavras, existe uma multiplicação em  $\mathbb{R}^3$ ?



WILLIAM ROWAN HAMILTON  
(1805-1865).

Durante treze anos, HAMILTON tentou definir uma tal multiplicação.

Existem “números tri-dimensionais?” Em outras palavras, existe uma multiplicação em  $\mathbb{R}^3$ ?

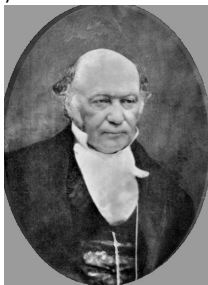


WILLIAM ROWAN HAMILTON  
(1805-1865).

Durante treze anos, HAMILTON tentou definir uma tal multiplicação.

Até que, em 1843, caminhando com a esposa ao longo do canal em Dublin para um encontro da Academia Real, teve uma epifania e visualizou as equações:

Existem “números tri-dimensionais?” Em outras palavras, existe uma multiplicação em  $\mathbb{R}^3$ ?



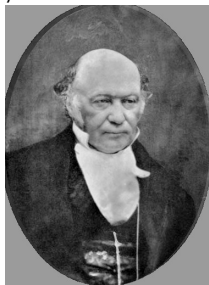
WILLIAM ROWAN HAMILTON  
(1805-1865).

Durante treze anos, HAMILTON tentou definir uma tal multiplicação.

Até que, em 1843, caminhando com a esposa ao longo do canal em Dublin para um encontro da Academia Real, teve uma epifania e visualizou as equações:

$$i^2 = j^2 = k^2 = ijk = -1.$$

Existem “números tri-dimensionais?” Em outras palavras, existe uma multiplicação em  $\mathbb{R}^3$ ?



WILLIAM ROWAN HAMILTON  
(1805-1865).

Durante treze anos, HAMILTON tentou definir uma tal multiplicação.

Até que, em 1843, caminhando com a esposa ao longo do canal em Dublin para um encontro da Academia Real, teve uma epifania e visualizou as equações:

$$i^2 = j^2 = k^2 = ijk = -1.$$

(Num famoso ato de vandalismo, gravou-as numa pedra da ponte de Brougham)



Here as he walked by  
on the 16th of October 1843  
Sir William Rowan Hamilton  
in a flash of genius discovered  
the fundamental formula for  
quaternion multiplication  
 $i^2 = j^2 = k^2 = ijk = -1$   
& cut it on a stone of this bridge

Hamilton passou a 4 dimensões e sacrificou a comutatividade:

Hamilton passou a 4 dimensões e sacrificou a comutatividade:

$$\mathbb{H} = \{q = a + bi + cj + dk \mid a, b, c, d \in \mathbb{R}\}$$

com uma multiplicação satisfazendo

$$i^2 = j^2 = k^2 = -1, \quad ij = -ji = k, \quad jk = -kj = i, \quad ki = -ik = j$$



Hamilton passou a 4 dimensões e sacrificou a comutatividade:

$$\mathbb{H} = \{q = a + bi + cj + dk \mid a, b, c, d \in \mathbb{R}\}$$

com uma multiplicação satisfazendo

$$i^2 = j^2 = k^2 = -1, \quad ij = -ji = k, \quad jk = -kj = i, \quad ki = -ik = j$$

$\mathbb{H}$  é uma álgebra (sobre  $\mathbb{R}$ , de dimensão 4), **associativa, normada e com divisão**.

Hamilton passou a 4 dimensões e sacrificou a comutatividade:

$$\mathbb{H} = \{q = a + bi + cj + dk \mid a, b, c, d \in \mathbb{R}\}$$

com uma multiplicação satisfazendo

$$i^2 = j^2 = k^2 = -1, \quad ij = -ji = k, \quad jk = -kj = i, \quad ki = -ik = j$$

$\mathbb{H}$  é uma álgebra (sobre  $\mathbb{R}$ , de dimensão 4), **associativa, normada e com divisão**.

$$\begin{aligned} \text{Conjugado} & : \bar{q} = a - bi - cj - dk \\ \text{Parte real} & : \Re q = a \\ \text{Parte imaginária} & : \Im q = bi + cj + dk \end{aligned}$$

Hamilton passou a 4 dimensões e sacrificou a comutatividade:

$$\mathbb{H} = \{q = a + bi + cj + dk \mid a, b, c, d \in \mathbb{R}\}$$

com uma multiplicação satisfazendo

$$i^2 = j^2 = k^2 = -1, \quad ij = -ji = k, \quad jk = -kj = i, \quad ki = -ik = j$$

$\mathbb{H}$  é uma álgebra (sobre  $\mathbb{R}$ , de dimensão 4), **associativa, normada e com divisão**.

$$\begin{aligned} \text{Conjugado} & : \bar{q} = a - bi - cj - dk \\ \text{Parte real} & : \Re q = a \\ \text{Parte imaginária} & : \Im q = bi + cj + dk \end{aligned}$$

Hamilton passou a 4 dimensões e sacrificou a comutatividade:

$$\mathbb{H} = \{q = a + bi + cj + dk \mid a, b, c, d \in \mathbb{R}\}$$

com uma multiplicação satisfazendo

$$i^2 = j^2 = k^2 = -1, \quad ij = -ji = k, \quad jk = -kj = i, \quad ki = -ik = j$$

$\mathbb{H}$  é uma álgebra (sobre  $\mathbb{R}$ , de dimensão 4), **associativa, normada e com divisão**.

$$\text{Conjugado} \quad : \quad \bar{q} = a - bi - cj - dk$$

$$\text{Parte real} \quad : \quad \Re q = a$$

$$\text{Parte imaginária} \quad : \quad \Im q = bi + cj + dk$$

Agora a norma Euclideana em  $\mathbb{R}^4$  fica:

$$|q|^2 = a^2 + b^2 + c^2 + d^2 = q\bar{q}$$

Notemos inicialmente a identidade

$$\overline{qq'} = \bar{q}'\bar{q},$$

de fácil verificação.

Notemos inicialmente a identidade

$$\overline{qq'} = \bar{q}' \bar{q},$$

de fácil verificação. Agora, calculemos:

Notemos inicialmente a identidade

$$\overline{qq'} = \bar{q}'\bar{q},$$

de fácil verificação. Agora, calculemos:

$$|qq'|^2 = qq'\overline{qq'}$$

Notemos inicialmente a identidade

$$\overline{qq'} = \bar{q}'\bar{q},$$

de fácil verificação. Agora, calculemos:

$$\begin{aligned} |qq'|^2 &= qq'\overline{qq'} \\ &= qq'\bar{q}'\bar{q} \end{aligned}$$



Notemos inicialmente a identidade

$$\overline{qq'} = \bar{q}'\bar{q},$$

de fácil verificação. Agora, calculemos:

$$\begin{aligned} |qq'|^2 &= qq'\overline{qq'} \\ &= qq'\bar{q}'\bar{q} \\ &= q|q'|^2\bar{q} \end{aligned}$$

Notemos inicialmente a identidade

$$\overline{qq'} = \bar{q}'\bar{q},$$

de fácil verificação. Agora, calculemos:

$$\begin{aligned} |qq'|^2 &= qq'\overline{qq'} \\ &= qq'\bar{q}'\bar{q} \\ &= q|q'|^2\bar{q} \\ &= q\bar{q}|q'|^2 \end{aligned}$$

Notemos inicialmente a identidade

$$\overline{qq'} = \bar{q}'\bar{q},$$

de fácil verificação. Agora, calculemos:

$$\begin{aligned} |qq'|^2 &= qq'\overline{qq'} \\ &= qq'\bar{q}'\bar{q} \\ &= q|q'|^2\bar{q} \\ &= q\bar{q}|q'|^2 \\ &= |q|^2|q'|^2, \end{aligned}$$

e a norma é **multiplicativa**.

Notemos inicialmente a identidade

$$\overline{qq'} = \bar{q}'\bar{q},$$

de fácil verificação. Agora, calculemos:

$$\begin{aligned} |qq'|^2 &= qq'\overline{qq'} \\ &= qq'\bar{q}'\bar{q} \\ &= q|q'|^2\bar{q} \\ &= q\bar{q}|q'|^2 \\ &= |q|^2|q'|^2, \end{aligned}$$

e a norma é **multiplicativa**.

Em particular,

$$\begin{aligned} (\text{soma de quatro quadrados}) \times (\text{soma de quatro quadrados}) \\ = (\text{soma de quatro quadrados}) \end{aligned}$$

Temos:

Temos:

$$q \neq 0 \quad \text{se e somente se} \quad |q| \neq 0.$$

Temos:

$$q \neq 0 \quad \text{se e somente se} \quad |q| \neq 0.$$

Então, dado  $q \neq 0$ , temos

$$q \frac{\bar{q}}{|q|^2} = 1,$$

Temos:

$$q \neq 0 \quad \text{se e somente se} \quad |q| \neq 0.$$

Então, dado  $q \neq 0$ , temos

$$q \frac{\bar{q}}{|q|^2} = 1,$$

isto é,

$$q^{-1} = \frac{\bar{q}}{|q|^2}.$$



Temos:

$$q \neq 0 \quad \text{se e somente se} \quad |q| \neq 0.$$

Então, dado  $q \neq 0$ , temos

$$q \frac{\bar{q}}{|q|^2} = 1,$$

isto é,

$$q^{-1} = \frac{\bar{q}}{|q|^2}.$$



FERDINAND G. FROBENIUS  
(1849-1917).

### Teorema (FROBENIUS 1878)

*As álgebras associativas com divisão sobre  $\mathbb{R}$  são:  $\mathbb{R}$ ,  $\mathbb{C}$ ,  $\mathbb{H}$  (resp. de dimensão 1, 2, 4).*

Temos:

$$q \neq 0 \quad \text{se e somente se} \quad |q| \neq 0.$$

Então, dado  $q \neq 0$ , temos

$$q \frac{\bar{q}}{|q|^2} = 1,$$

isto é,

$$q^{-1} = \frac{\bar{q}}{|q|^2}.$$



FERDINAND G. FROBENIUS  
(1849-1917).

### Teorema (FROBENIUS 1878)

*As álgebras associativas com divisão sobre  $\mathbb{R}$  são:  $\mathbb{R}$ ,  $\mathbb{C}$ ,  $\mathbb{H}$  (resp. de dimensão 1, 2, 4).*

Os octônions formam uma álgebra real normada com divisão de dimensão 8 que não é comutativa nem associativa.

Os octônions formam uma álgebra real normada com divisão de dimensão 8 que não é comutativa nem associativa. John T. GRAVES (colega de Hamilton do tempo de estudante) os descobriu em 1843, mas o primeiro a publicar sobre sua existência foi Arthur CAYLEY, em 1845.

Os octônions formam uma álgebra real normada com divisão de dimensão 8 que não é comutativa nem associativa. John T. GRAVES (colega de Hamilton do tempo de estudante) os descobriu em 1843, mas o primeiro a publicar sobre sua existência foi Arthur CAYLEY, em 1845. O correspondente “teorema dos oito quadrados” já fora descoberto por C. F. DEGEN em 1818.

Os octônions formam uma álgebra real normada com divisão de dimensão 8 que não é comutativa nem associativa. John T. GRAVES (colega de Hamilton do tempo de estudante) os descobriu em 1843, mas o primeiro a publicar sobre sua existência foi Arthur CAYLEY, em 1845. O correspondente “teorema dos oito quadrados” já fora descoberto por C. F. DEGEN em 1818.



ADOLF HURWITZ (1859-1919).

### Teorema (HURWITZ 1898)

*As álgebras normadas com divisão sobre  $\mathbb{R}$  são:  $\mathbb{R}$ ,  $\mathbb{C}$ ,  $\mathbb{H}$ ,  $\mathbb{O}$  (resp. de dimensão 1, 2, 4, 8).*

Escrevamos

Escrevamos

$$q = a + bi + cj + dk$$



Escrevamos

$$\begin{aligned}q &= a + bi + cj + dk \\ &= a + bi + j(c - di)\end{aligned}$$

Escrevamos

$$\begin{aligned}q &= a + bi + cj + dk \\ &= a + bi + j(c - di) \\ &= \alpha + j\beta\end{aligned}$$

Escrevamos

$$\begin{aligned}q &= a + bi + cj + dk \\ &= a + bi + j(c - di) \\ &= \alpha + j\beta\end{aligned}$$

onde

$$\alpha = a + bi, \beta = c - di \in \mathbb{C}.$$

Escrevamos

$$\begin{aligned}q &= a + bi + cj + dk \\ &= a + bi + j(c - di) \\ &= \alpha + j\beta\end{aligned}$$

onde

$$\alpha = a + bi, \beta = c - di \in \mathbb{C}.$$

Então

$$q_1 q_2 = (\alpha_1 + j\beta_1)(\alpha_2 + j\beta_2)$$

Escrevamos

$$\begin{aligned}q &= a + bi + cj + dk \\ &= a + bi + j(c - di) \\ &= \alpha + j\beta\end{aligned}$$

onde

$$\alpha = a + bi, \beta = c - di \in \mathbb{C}.$$

Então

$$\begin{aligned}q_1 q_2 &= (\alpha_1 + j\beta_1)(\alpha_2 + j\beta_2) \\ &= \alpha_1 \alpha_2 + j\beta_1 j\beta_2 + j\beta_1 \alpha_2 + \alpha_1 j\beta_2\end{aligned}$$

Escrevamos

$$\begin{aligned}q &= a + bi + cj + dk \\ &= a + bi + j(c - di) \\ &= \alpha + j\beta\end{aligned}$$

onde

$$\alpha = a + bi, \beta = c - di \in \mathbb{C}.$$

Então

$$\begin{aligned}q_1 q_2 &= (\alpha_1 + j\beta_1)(\alpha_2 + j\beta_2) \\ &= \alpha_1\alpha_2 + j\beta_1j\beta_2 + j\beta_1\alpha_2 + \alpha_1j\beta_2 \\ &= (\alpha_1\alpha_2 - \bar{\beta}_1\beta_2) + j(\beta_1\alpha_2 + \bar{\alpha}_1\beta_2)\end{aligned}$$

Aqui usamos que  $\beta j = j\bar{\beta}$ , etc.

Escrevamos

$$\begin{aligned}q &= a + bi + cj + dk \\ &= a + bi + j(c - di) \\ &= \alpha + j\beta\end{aligned}$$

onde

$$\alpha = a + bi, \beta = c - di \in \mathbb{C}.$$

Então

$$\begin{aligned}q_1 q_2 &= (\alpha_1 + j\beta_1)(\alpha_2 + j\beta_2) \\ &= \alpha_1\alpha_2 + j\beta_1j\beta_2 + j\beta_1\alpha_2 + \alpha_1j\beta_2 \\ &= (\alpha_1\alpha_2 - \bar{\beta}_1\beta_2) + j(\beta_1\alpha_2 + \bar{\alpha}_1\beta_2)\end{aligned}$$

Aqui usamos que  $\beta j = j\bar{\beta}$ , etc. Estamos portanto considerando  $\mathbb{H}$  como espaço vetorial à **direita** sobre  $\mathbb{C}$ .

Escrevamos

$$\begin{aligned}q &= a + bi + cj + dk \\ &= a + bi + j(c - di) \\ &= \alpha + j\beta\end{aligned}$$

onde

$$\alpha = a + bi, \quad \beta = c - di \in \mathbb{C}.$$

Então

$$\begin{aligned}q_1 q_2 &= (\alpha_1 + j\beta_1)(\alpha_2 + j\beta_2) \\ &= \alpha_1 \alpha_2 + j\beta_1 j\beta_2 + j\beta_1 \alpha_2 + \alpha_1 j\beta_2 \\ &= (\alpha_1 \alpha_2 - \bar{\beta}_1 \beta_2) + j(\beta_1 \alpha_2 + \bar{\alpha}_1 \beta_2)\end{aligned}$$

Aqui usamos que  $\beta j = j\bar{\beta}$ , etc. Estamos portanto considerando  $\mathbb{H}$  como espaço vetorial à **direita** sobre  $\mathbb{C}$ . Neste sentido, a multiplicação à esquerda de  $\mathbb{H} = \mathbb{C}^2$  por um quatérnion torna-se  $\mathbb{C}$ -linear:

$$\mathbb{H} \rightarrow \text{End}(\mathbb{C}^2), \quad q \mapsto L_q.$$



Escrevamos

$$\begin{aligned}q &= a + bi + cj + dk \\ &= a + bi + j(c - di) \\ &= \alpha + j\beta\end{aligned}$$

onde

$$\alpha = a + bi, \quad \beta = c - di \in \mathbb{C}.$$

Então

$$\begin{aligned}q_1 q_2 &= (\alpha_1 + j\beta_1)(\alpha_2 + j\beta_2) \\ &= \alpha_1 \alpha_2 + j\beta_1 j\beta_2 + j\beta_1 \alpha_2 + \alpha_1 j\beta_2 \\ &= (\alpha_1 \alpha_2 - \bar{\beta}_1 \beta_2) + j(\beta_1 \alpha_2 + \bar{\alpha}_1 \beta_2)\end{aligned}$$

Aqui usamos que  $\beta j = j\bar{\beta}$ , etc. Estamos portanto considerando  $\mathbb{H}$  como espaço vetorial à **direita** sobre  $\mathbb{C}$ . Neste sentido, a multiplicação à esquerda de  $\mathbb{H} = \mathbb{C}^2$  por um quatérnion torna-se  $\mathbb{C}$ -linear:

$$\mathbb{H} \rightarrow \text{End}(\mathbb{C}^2), \quad q \mapsto L_q.$$

De fato,

$$L_q(xi) = q(xi) = (qx)i = L_q(x)i$$

onde  $q, x \in \mathbb{H}$ .



Tomemos a base  $\{1, j\}$  de  $\mathbb{H}$  sobre  $\mathbb{C}$ ,  $q = \alpha + j\beta$ , e calculemos:

$$(\alpha + j\beta) \cdot 1 = \alpha + j\beta$$

$$(\alpha + j\beta) \cdot j = -\bar{\beta} + j\bar{\alpha}$$

Assim obtemos a representação matricial

$$L_q = \begin{pmatrix} \alpha & -\bar{\beta} \\ \beta & \bar{\alpha} \end{pmatrix}.$$

Tomemos a base  $\{1, j\}$  de  $\mathbb{H}$  sobre  $\mathbb{C}$ ,  $q = \alpha + j\beta$ , e calculemos:

$$(\alpha + j\beta) \cdot 1 = \alpha + j\beta$$

$$(\alpha + j\beta) \cdot j = -\bar{\beta} + j\bar{\alpha}$$

Assim obtemos a representação matricial

$$L_q = \begin{pmatrix} \alpha & -\bar{\beta} \\ \beta & \bar{\alpha} \end{pmatrix}.$$

Aqui  $L_1 = I$  e a associatividade de  $\mathbb{H}$  dá

$$L_{q_1 q_2} = L_{q_1} L_{q_2}$$

Tomemos a base  $\{1, j\}$  de  $\mathbb{H}$  sobre  $\mathbb{C}$ ,  $q = \alpha + j\beta$ , e calculemos:

$$(\alpha + j\beta) \cdot 1 = \alpha + j\beta$$

$$(\alpha + j\beta) \cdot j = -\bar{\beta} + j\bar{\alpha}$$

Assim obtemos a representação matricial

$$L_q = \begin{pmatrix} \alpha & -\bar{\beta} \\ \beta & \bar{\alpha} \end{pmatrix}.$$

Aqui  $L_1 = I$  e a associatividade de  $\mathbb{H}$  dá

$$L_{q_1 q_2} = L_{q_1} L_{q_2}$$

Logo temos um homomorfismo de grupos

$$q \mapsto L_q, \quad \mathbb{H}^\times \rightarrow GL(2, \mathbb{C}),$$

onde  $\mathbb{H}^\times$  denote o grupo multiplicativo dos quatérnions não-nulos.



Os quatérnions de norma 1 formam um conjunto difeomorfo à esfera  $S^3$ :

Os quatérnions de norma 1 formam um conjunto difeomorfo à esfera  $S^3$ :

$$\begin{aligned} S^3 &= \{(a, b, c, d) \in \mathbb{R}^4 : a^2 + b^2 + c^2 + d^2 = 1\} \\ &= \{q \in \mathbb{H} : |q| = 1\} \end{aligned}$$



Os quatérnions de norma 1 formam um conjunto difeomorfo à esfera  $S^3$ :

$$\begin{aligned} S^3 &= \{(a, b, c, d) \in \mathbb{R}^4 : a^2 + b^2 + c^2 + d^2 = 1\} \\ &= \{q \in \mathbb{H} : |q| = 1\} \\ &= \{(\alpha, \beta) \in \mathbb{C}^2 : |\alpha|^2 + |\beta|^2 = 1\}. \end{aligned}$$

Os quatérnions de norma 1 formam um conjunto difeomorfo à esfera  $S^3$ :

$$\begin{aligned} S^3 &= \{(a, b, c, d) \in \mathbb{R}^4 : a^2 + b^2 + c^2 + d^2 = 1\} \\ &= \{q \in \mathbb{H} : |q| = 1\} \\ &= \{(\alpha, \beta) \in \mathbb{C}^2 : |\alpha|^2 + |\beta|^2 = 1\}. \end{aligned}$$

Como a norma é multiplicativa,  $S^3$  forma um subgrupo de  $\mathbb{H}^\times$ .

Os quatérnions de norma 1 formam um conjunto difeomorfo à esfera  $S^3$ :

$$\begin{aligned} S^3 &= \{(a, b, c, d) \in \mathbb{R}^4 : a^2 + b^2 + c^2 + d^2 = 1\} \\ &= \{q \in \mathbb{H} : |q| = 1\} \\ &= \{(\alpha, \beta) \in \mathbb{C}^2 : |\alpha|^2 + |\beta|^2 = 1\}. \end{aligned}$$

Como a norma é multiplicativa,  $S^3$  forma um subgrupo de  $\mathbb{H}^\times$ . Temos

$$\varphi : S^3 \rightarrow SU(2), \quad \varphi(q) = L_q,$$

Os quatérnions de norma 1 formam um conjunto difeomorfo à esfera  $S^3$ :

$$\begin{aligned} S^3 &= \{(a, b, c, d) \in \mathbb{R}^4 : a^2 + b^2 + c^2 + d^2 = 1\} \\ &= \{q \in \mathbb{H} : |q| = 1\} \\ &= \{(\alpha, \beta) \in \mathbb{C}^2 : |\alpha|^2 + |\beta|^2 = 1\}. \end{aligned}$$

Como a norma é multiplicativa,  $S^3$  forma um subgrupo de  $\mathbb{H}^\times$ . Temos

$$\varphi : S^3 \rightarrow SU(2), \quad \varphi(q) = L_q,$$

pois

$$\varphi(q)\varphi(q)^* = \begin{pmatrix} \alpha & -\bar{\beta} \\ \beta & \bar{\alpha} \end{pmatrix} \begin{pmatrix} \bar{\alpha} & \bar{\beta} \\ -\beta & \alpha \end{pmatrix} = \begin{pmatrix} 1 & 0 \\ 0 & 1 \end{pmatrix}$$

Os quatérnions de norma 1 formam um conjunto difeomorfo à esfera  $S^3$ :

$$\begin{aligned} S^3 &= \{(a, b, c, d) \in \mathbb{R}^4 : a^2 + b^2 + c^2 + d^2 = 1\} \\ &= \{q \in \mathbb{H} : |q| = 1\} \\ &= \{(\alpha, \beta) \in \mathbb{C}^2 : |\alpha|^2 + |\beta|^2 = 1\}. \end{aligned}$$

Como a norma é multiplicativa,  $S^3$  forma um subgrupo de  $\mathbb{H}^\times$ . Temos

$$\varphi : S^3 \rightarrow SU(2), \quad \varphi(q) = L_q,$$

pois

$$\varphi(q)\varphi(q)^* = \begin{pmatrix} \alpha & -\bar{\beta} \\ \beta & \bar{\alpha} \end{pmatrix} \begin{pmatrix} \bar{\alpha} & \bar{\beta} \\ -\beta & \alpha \end{pmatrix} = \begin{pmatrix} 1 & 0 \\ 0 & 1 \end{pmatrix}$$

e

$$\det \varphi(q) = \det \begin{pmatrix} \alpha & -\bar{\beta} \\ \beta & \bar{\alpha} \end{pmatrix} = |\alpha|^2 + |\beta|^2 = 1.$$

Os quatérnions de norma 1 formam um conjunto difeomorfo à esfera  $S^3$ :

$$\begin{aligned} S^3 &= \{(a, b, c, d) \in \mathbb{R}^4 : a^2 + b^2 + c^2 + d^2 = 1\} \\ &= \{q \in \mathbb{H} : |q| = 1\} \\ &= \{(\alpha, \beta) \in \mathbb{C}^2 : |\alpha|^2 + |\beta|^2 = 1\}. \end{aligned}$$

Como a norma é multiplicativa,  $S^3$  forma um subgrupo de  $\mathbb{H}^\times$ . Temos

$$\varphi : S^3 \rightarrow SU(2), \quad \varphi(q) = L_q,$$

pois

$$\varphi(q)\varphi(q)^* = \begin{pmatrix} \alpha & -\bar{\beta} \\ \beta & \bar{\alpha} \end{pmatrix} \begin{pmatrix} \bar{\alpha} & \bar{\beta} \\ -\beta & \alpha \end{pmatrix} = \begin{pmatrix} 1 & 0 \\ 0 & 1 \end{pmatrix}$$

e

$$\det \varphi(q) = \det \begin{pmatrix} \alpha & -\bar{\beta} \\ \beta & \bar{\alpha} \end{pmatrix} = |\alpha|^2 + |\beta|^2 = 1.$$

É fácil ver que  $\varphi$  é bijetora e contínua, portanto, um homeomorfismo (já que  $S^3$  é compacto) e um isomorfismo de grupos.

Consideremos os quatérnions puramente imaginários:

$$\Im\mathbb{H} = \{q \in \mathbb{H} \mid \Re q = 0\} \cong \mathbb{R}^3.$$

Consideremos os quatérnions puramente imaginários:

$$\Im\mathbb{H} = \{q \in \mathbb{H} \mid \Re q = 0\} \cong \mathbb{R}^3.$$

Sejam  $u = u_1i + u_2j + u_3k$ ,  $v = v_1i + v_2j + v_3k \in \Im\mathbb{H}$ .



Consideremos os quatérnions puramente imaginários:

$$\Im\mathbb{H} = \{q \in \mathbb{H} \mid \Re q = 0\} \cong \mathbb{R}^3.$$

Sejam  $u = u_1i + u_2j + u_3k$ ,  $v = v_1i + v_2j + v_3k \in \Im\mathbb{H}$ . Então

$$uv = -(u_1v_1 + u_2v_2 + u_3v_3) + (u_2v_3 - u_3v_2)i + (u_3v_1 - u_1v_3)j + (u_1v_2 - u_2v_1)k$$

Consideremos os quatérnions puramente imaginários:

$$\Im\mathbb{H} = \{q \in \mathbb{H} \mid \Re q = 0\} \cong \mathbb{R}^3.$$

Sejam  $u = u_1i + u_2j + u_3k$ ,  $v = v_1i + v_2j + v_3k \in \Im\mathbb{H}$ . Então

$$\begin{aligned} uv &= -(u_1v_1 + u_2v_2 + u_3v_3) + (u_2v_3 - u_3v_2)i + (u_3v_1 - u_1v_3)j + (u_1v_2 - u_2v_1)k \\ &= -u \cdot v + u \times v \end{aligned}$$

Consideremos os quatérnions puramente imaginários:

$$\Im\mathbb{H} = \{q \in \mathbb{H} \mid \Re q = 0\} \cong \mathbb{R}^3.$$

Sejam  $u = u_1i + u_2j + u_3k$ ,  $v = v_1i + v_2j + v_3k \in \Im\mathbb{H}$ . Então

$$\begin{aligned} uv &= -(u_1v_1 + u_2v_2 + u_3v_3) + (u_2v_3 - u_3v_2)i + (u_3v_1 - u_1v_3)j + (u_1v_2 - u_2v_1)k \\ &= -u \cdot v + u \times v \end{aligned}$$

Em particular,

$$u^2 = -|u|^2 = -1$$

para  $u \in \Im\mathbb{H} \cap \mathcal{S}^3 = \mathcal{S}^2$ .

Para cada  $q \in S^3$  e  $x \in \mathbb{H} \cong \mathbb{R}^4$ , definamos

$$\tilde{\psi}(q)x = qxq^{-1}.$$

Para cada  $q \in S^3$  e  $x \in \mathbb{H} \cong \mathbb{R}^4$ , definamos

$$\tilde{\psi}(q)x = qxq^{-1}.$$

Então  $\tilde{\psi}(q)$  é uma isometria de  $\mathbb{R}^4$ :

$$|\tilde{\psi}(q)x| = |q||x||q|^{-1} = |x|.$$

Para cada  $q \in S^3$  e  $x \in \mathbb{H} \cong \mathbb{R}^4$ , definamos

$$\tilde{\psi}(q)x = qxq^{-1}.$$

Então  $\tilde{\psi}(q)$  é uma isometria de  $\mathbb{R}^4$ :

$$|\tilde{\psi}(q)x| = |q||x||q|^{-1} = |x|.$$

$\tilde{\psi}(q)$  fixa os pontos do subespaço  $\mathbb{R} \cdot 1 \subset \mathbb{H}$ :

$$\tilde{\psi}(q)a = qaq^{-1} = aqq^{-1} = a$$

para  $a \in \mathbb{R}$ .

Para cada  $q \in S^3$  e  $x \in \mathbb{H} \cong \mathbb{R}^4$ , definamos

$$\tilde{\psi}(q)x = qxq^{-1}.$$

Então  $\tilde{\psi}(q)$  é uma isometria de  $\mathbb{R}^4$ :

$$|\tilde{\psi}(q)x| = |q||x||q|^{-1} = |x|.$$

$\tilde{\psi}(q)$  fixa os pontos do subespaço  $\mathbb{R} \cdot 1 \subset \mathbb{H}$ :

$$\tilde{\psi}(q)a = qaq^{-1} = aqq^{-1} = a$$

para  $a \in \mathbb{R}$ .

Como  $\mathbb{H} = \mathbb{R} \cdot 1 \oplus \Im\mathbb{H} = \mathbb{R} \oplus \mathbb{R}^3$  é uma decomposição ortogonal, agora  $\tilde{\psi}(q)$  define uma isometria  $\psi(q)$  de  $\mathbb{R}^3$ :

$$\psi : S^3 \rightarrow SO(3).$$

Tomemos um quatérnion da forma  $q = \cos \theta + u \sin \theta$ , onde  $u \in \mathfrak{S}\mathbb{H} \cap S^3$ .



Tomemos um quatérnio da forma  $q = \cos \theta + u \sin \theta$ , onde  $u \in \mathfrak{S}\mathbb{H} \cap S^3$ .

## Proposição

$\psi(q)$  é uma rotação de ângulo  $2\theta$  e eixo  $u$ .

Tomemos um quatérnio da forma  $q = \cos \theta + u \sin \theta$ , onde  $u \in \mathfrak{S}\mathbb{H} \cap S^3$ .

## Proposição

$\psi(q)$  é uma rotação de ângulo  $2\theta$  e eixo  $u$ .

*Demonstração.*  $q$  comuta com  $u$ , então  $\psi(q)u = u$ .

Tomemos um quatérnio da forma  $q = \cos \theta + u \sin \theta$ , onde  $u \in \mathfrak{S}\mathbb{H} \cap S^3$ .

## Proposição

$\psi(q)$  é uma rotação de ângulo  $2\theta$  e eixo  $u$ .

*Demonstração.*  $q$  comuta com  $u$ , então  $\psi(q)u = u$ . Tome  $v \perp u$ , e ponha  $w = u \times v$ .

Tomemos um quatérnio da forma  $q = \cos \theta + u \sin \theta$ , onde  $u \in \mathfrak{S}\mathbb{H} \cap S^3$ .

### Proposição

$\psi(q)$  é uma rotação de ângulo  $2\theta$  e eixo  $u$ .

*Demonstração.*  $q$  comuta com  $u$ , então  $\psi(q)u = u$ . Tome  $v \perp u$ , e ponha  $w = u \times v$ . Então, usando

$$uv = u \times v = w = -vu$$

Tomemos um quatérnio da forma  $q = \cos \theta + u \sin \theta$ , onde  $u \in \mathfrak{S}\mathbb{H} \cap S^3$ .

### Proposição

$\psi(q)$  é uma rotação de ângulo  $2\theta$  e eixo  $u$ .

*Demonstração.*  $q$  comuta com  $u$ , então  $\psi(q)u = u$ . Tome  $v \perp u$ , e ponha  $w = u \times v$ . Então, usando

$$uv = u \times v = w = -vu$$

e

$$uvu = u(vu) = u(-uv) = -u^2v = v,$$

Tomemos um quaternião da forma  $q = \cos \theta + u \sin \theta$ , onde  $u \in \mathfrak{S}\mathbb{H} \cap S^3$ .

### Proposição

$\psi(q)$  é uma rotação de ângulo  $2\theta$  e eixo  $u$ .

*Demonstração.*  $q$  comuta com  $u$ , então  $\psi(q)u = u$ . Tome  $v \perp u$ , e ponha  $w = u \times v$ . Então, usando

$$uv = u \times v = w = -vu$$

e

$$uvu = u(vu) = u(-uv) = -u^2v = v,$$

nós obtemos

$$\begin{aligned} \psi(q)v &= (\cos \theta + u \sin \theta)v(\cos \theta - u \sin \theta) \\ &= v \cos^2 \theta + uv \sin \theta \cos \theta - uvu \sin^2 \theta - vu \cos \theta \sin \theta \\ &= v \cos 2\theta + w \sin 2\theta, \end{aligned}$$

como desejado.  $\square$

Deduzimos que

$$\psi : S^3 \rightarrow SO(3)$$

é um homomorfismo contínuo sobrejetor (pois toda rotação de  $\mathbb{R}^3$  tem um eixo).

Deduzimos que

$$\psi : S^3 \rightarrow SO(3)$$

é um homomorfismo contínuo sobrejetor (pois toda rotação de  $\mathbb{R}^3$  tem um eixo). Além disso,  $\ker \psi = \{\pm 1\}$ .



Deduzimos que

$$\psi : S^3 \rightarrow SO(3)$$

é um homomorfismo contínuo sobrejetor (pois toda rotação de  $\mathbb{R}^3$  tem um eixo). Além disso,  $\ker \psi = \{\pm 1\}$ . Finalmente obtemos um isomorfismo de grupos e um homeomorfismo

$$SO(3) \cong S^3 / \{\pm 1\}$$

Deduzimos que

$$\psi : S^3 \rightarrow SO(3)$$

é um homomorfismo contínuo sobrejetor (pois toda rotação de  $\mathbb{R}^3$  tem um eixo). Além disso,  $\ker \psi = \{\pm 1\}$ . Finalmente obtemos um isomorfismo de grupos e um homeomorfismo

$$SO(3) \cong S^3 / \{\pm 1\}$$

( $\cong \mathbb{R}P^3$ , onde  $\mathbb{R}P^3$  é o espaço de retas pela origem em  $\mathbb{R}^3$ ; note que toda tal reta encontra  $S^3$  em dois pontos, que são antípodas.)

Deduzimos que

$$\psi : S^3 \rightarrow SO(3)$$

é um homomorfismo contínuo sobrejetor (pois toda rotação de  $\mathbb{R}^3$  tem um eixo). Além disso,  $\ker \psi = \{\pm 1\}$ . Finalmente obtemos um isomorfismo de grupos e um homeomorfismo

$$SO(3) \cong S^3 / \{\pm 1\}$$

( $\cong \mathbb{R}P^3$ , onde  $\mathbb{R}P^3$  é o espaço de retas pela origem em  $\mathbb{R}^3$ ; note que toda tal reta encontra  $S^3$  em dois pontos, que são antípodas.)

“Uma rotação de  $\mathbb{R}^3$  é uma quatérnion unitário, a menos de multiplicação por  $-1$ .”

## Teorema

*Toda isometria de  $\mathbb{R}^n$  que fixa a origem é o produto de no máximo  $n$  reflexões em hiperplanos pela origem.*

## Teorema

*Toda isometria de  $\mathbb{R}^n$  que fixa a origem é o produto de no máximo  $n$  reflexões em hiperplanos pela origem.*

*Demonstração.* Por indução sobre  $n$ . O caso inicial  $n = 1$  é fácil, pois a única isometria não-trivial de  $\mathbb{R}$  que fixa a origem é uma reflexão:  $x \mapsto -x$ .

## Teorema

*Toda isometria de  $\mathbb{R}^n$  que fixa a origem é o produto de no máximo  $n$  reflexões em hiperplanos pela origem.*

*Demonstração.* Por indução sobre  $n$ . O caso inicial  $n = 1$  é fácil, pois a única isometria não-trivial de  $\mathbb{R}$  que fixa a origem é uma reflexão:  $x \mapsto -x$ .

Assumamos o resultado verdadeiro para  $n - 1$  e seja  $T \neq I$  uma isometria de  $\mathbb{R}^n$  com  $T(0) = 0$ .

## Teorema

*Toda isometria de  $\mathbb{R}^n$  que fixa a origem é o produto de no máximo  $n$  reflexões em hiperplanos pela origem.*

*Demonstração.* Por indução sobre  $n$ . O caso inicial  $n = 1$  é fácil, pois a única isometria não-trivial de  $\mathbb{R}$  que fixa a origem é uma reflexão:  $x \mapsto -x$ .

Assumamos o resultado verdadeiro para  $n - 1$  e seja  $T \neq I$  uma isometria de  $\mathbb{R}^n$  com  $T(0) = 0$ . Tomemos  $v \in \mathbb{R}^n$  com  $Tv = w \neq v$ .

## Teorema

*Toda isometria de  $\mathbb{R}^n$  que fixa a origem é o produto de no máximo  $n$  reflexões em hiperplanos pela origem.*

*Demonstração.* Por indução sobre  $n$ . O caso inicial  $n = 1$  é fácil, pois a única isometria não-trivial de  $\mathbb{R}$  que fixa a origem é uma reflexão:  $x \mapsto -x$ .

Assumamos o resultado verdadeiro para  $n - 1$  e seja  $T \neq I$  uma isometria de  $\mathbb{R}^n$  com  $T(0) = 0$ . Tomemos  $v \in \mathbb{R}^n$  com  $Tv = w \neq v$ . Seja  $R$  a reflexão no hiperplano ortogonal a  $u := v - w$ .



## Teorema

*Toda isometria de  $\mathbb{R}^n$  que fixa a origem é o produto de no máximo  $n$  reflexões em hiperplanos pela origem.*

*Demonstração.* Por indução sobre  $n$ . O caso inicial  $n = 1$  é fácil, pois a única isometria não-trivial de  $\mathbb{R}$  que fixa a origem é uma reflexão:  $x \mapsto -x$ .

Assumamos o resultado verdadeiro para  $n - 1$  e seja  $T \neq I$  uma isometria de  $\mathbb{R}^n$  com  $T(0) = 0$ . Tomemos  $v \in \mathbb{R}^n$  com  $Tv = w \neq v$ . Seja  $R$  a reflexão no hiperplano ortogonal a  $u := v - w$ . Então  $Tu = -u$  e  $RT$  fixa os pontos da reta gerada por  $u$ .

## Teorema

*Toda isometria de  $\mathbb{R}^n$  que fixa a origem é o produto de no máximo  $n$  reflexões em hiperplanos pela origem.*

*Demonstração.* Por indução sobre  $n$ . O caso inicial  $n = 1$  é fácil, pois a única isometria não-trivial de  $\mathbb{R}$  que fixa a origem é uma reflexão:  $x \mapsto -x$ .

Assumamos o resultado verdadeiro para  $n - 1$  e seja  $T \neq I$  uma isometria de  $\mathbb{R}^n$  com  $T(0) = 0$ . Tomemos  $v \in \mathbb{R}^n$  com  $Tv = w \neq v$ . Seja  $R$  a reflexão no hiperplano ortogonal a  $u := v - w$ . Então  $Tu = -u$  e  $RT$  fixa os pontos da reta gerada por  $u$ . Agora  $RT$  deixa o hiperplano  $u^\perp \cong \mathbb{R}^{n-1}$  invariante.

## Teorema

*Toda isometria de  $\mathbb{R}^n$  que fixa a origem é o produto de no máximo  $n$  reflexões em hiperplanos pela origem.*

*Demonstração.* Por indução sobre  $n$ . O caso inicial  $n = 1$  é fácil, pois a única isometria não-trivial de  $\mathbb{R}$  que fixa a origem é uma reflexão:  $x \mapsto -x$ .

Assumamos o resultado verdadeiro para  $n - 1$  e seja  $T \neq I$  uma isometria de  $\mathbb{R}^n$  com  $T(0) = 0$ . Tomemos  $v \in \mathbb{R}^n$  com  $Tv = w \neq v$ . Seja  $R$  a reflexão no hiperplano ortogonal a  $u := v - w$ . Então  $Tu = -u$  e  $RT$  fixa os pontos da reta gerada por  $u$ . Agora  $RT$  deixa o hiperplano  $u^\perp \cong \mathbb{R}^{n-1}$  invariante. Pela hipótese de indução,  $RT|_{u^\perp}$  é o produto de no máximo  $n - 1$  reflexões.

## Teorema

*Toda isometria de  $\mathbb{R}^n$  que fixa a origem é o produto de no máximo  $n$  reflexões em hiperplanos pela origem.*

*Demonstração.* Por indução sobre  $n$ . O caso inicial  $n = 1$  é fácil, pois a única isometria não-trivial de  $\mathbb{R}$  que fixa a origem é uma reflexão:  $x \mapsto -x$ .

Assumamos o resultado verdadeiro para  $n - 1$  e seja  $T \neq I$  uma isometria de  $\mathbb{R}^n$  com  $T(0) = 0$ . Tomemos  $v \in \mathbb{R}^n$  com  $Tv = w \neq v$ . Seja  $R$  a reflexão no hiperplano ortogonal a  $u := v - w$ . Então  $Tu = -u$  e  $RT$  fixa os pontos da reta gerada por  $u$ . Agora  $RT$  deixa o hiperplano  $u^\perp \cong \mathbb{R}^{n-1}$  invariante. Pela hipótese de indução,  $RT|_{u^\perp}$  é o produto de no máximo  $n - 1$  reflexões. Logo,  $T$  é o produto de no máximo  $n$  reflexões.  $\square$

Uma rotação de  $\mathbb{R}^4$  é uma isometria que preserva a orientação — isto é, tem determinante positivo.

Uma rotação de  $\mathbb{R}^4$  é uma isometria que preserva a orientação — isto é, tem determinante positivo. Segue do Teorema de CARTAN-DIEUDONNÉ que toda rotação do  $\mathbb{R}^4$  é o produto de 0, 2 ou 4 reflexões em hiperplanos.

Uma rotação de  $\mathbb{R}^4$  é uma isometria que preserva a orientação — isto é, tem determinante positivo. Segue do Teorema de CARTAN-DIEUDONNÉ que toda rotação do  $\mathbb{R}^4$  é o produto de 0, 2 ou 4 reflexões em hiperplanos.

### Proposição

*Seja  $u$  um quatérnion unitário. Então a reflexão de  $\mathbb{H}$  no hiperplano  $u^\perp$  é a aplicação  $x \mapsto -u\bar{x}u$ .*

Uma rotação de  $\mathbb{R}^4$  é uma isometria que preserva a orientação — isto é, tem determinante positivo. Segue do Teorema de CARTAN-DIEUDONNÉ que toda rotação do  $\mathbb{R}^4$  é o produto de 0, 2 ou 4 reflexões em hiperplanos.

## Proposição

*Seja  $u$  um quatérnio unitário. Então a reflexão de  $\mathbb{H}$  no hiperplano  $u^\perp$  é a aplicação  $x \mapsto -u\bar{x}u$ .*

*Demonstração.* A reflexão em  $\mathfrak{S}\mathbb{H} = \mathbf{1}^\perp$  é  $x \mapsto -\bar{x}$ .



Uma rotação de  $\mathbb{R}^4$  é uma isometria que preserva a orientação — isto é, tem determinante positivo. Segue do Teorema de CARTAN-DIEUDONNÉ que toda rotação do  $\mathbb{R}^4$  é o produto de 0, 2 ou 4 reflexões em hiperplanos.

### Proposição

*Seja  $u$  um quatérnion unitário. Então a reflexão de  $\mathbb{H}$  no hiperplano  $u^\perp$  é a aplicação  $x \mapsto -u\bar{x}u$ .*

*Demonstração.* A reflexão em  $\mathfrak{S}\mathbb{H} = 1^\perp$  é  $x \mapsto -\bar{x}$ . A multiplicação por  $u$  é uma isometria  $M_u$  que leva 1 em  $u$  e  $1^\perp$  em  $u^\perp$ ,

Uma rotação de  $\mathbb{R}^4$  é uma isometria que preserva a orientação — isto é, tem determinante positivo. Segue do Teorema de CARTAN-DIEUDONNÉ que toda rotação do  $\mathbb{R}^4$  é o produto de 0, 2 ou 4 reflexões em hiperplanos.

### Proposição

*Seja  $u$  um quatérnio unitário. Então a reflexão de  $\mathbb{H}$  no hiperplano  $u^\perp$  é a aplicação  $x \mapsto -u\bar{x}u$ .*

*Demonstração.* A reflexão em  $\mathfrak{S}\mathbb{H} = 1^\perp$  é  $x \mapsto -\bar{x}$ . A multiplicação por  $u$  é uma isometria  $M_u$  que leva 1 em  $u$  e  $1^\perp$  em  $u^\perp$ , e portanto conjuga a reflexão  $R_1$  em  $1^\perp$  na reflexão  $R_u$  em  $u^\perp$ ,

Uma rotação de  $\mathbb{R}^4$  é uma isometria que preserva a orientação — isto é, tem determinante positivo. Segue do Teorema de CARTAN-DIEUDONNÉ que toda rotação do  $\mathbb{R}^4$  é o produto de 0, 2 ou 4 reflexões em hiperplanos.

### Proposição

*Seja  $u$  um quatérnio unitário. Então a reflexão de  $\mathbb{H}$  no hiperplano  $u^\perp$  é a aplicação  $x \mapsto -u\bar{x}u$ .*

*Demonstração.* A reflexão em  $\mathfrak{S}\mathbb{H} = 1^\perp$  é  $x \mapsto -\bar{x}$ . A multiplicação por  $u$  é uma isometria  $M_u$  que leva 1 em  $u$  e  $1^\perp$  em  $u^\perp$ , e portanto conjuga a reflexão  $R_1$  em  $1^\perp$  na reflexão  $R_u$  em  $u^\perp$ , isto é,

$$R_u = M_u \circ R_1 \circ M_u^{-1}.$$

Uma rotação de  $\mathbb{R}^4$  é uma isometria que preserva a orientação — isto é, tem determinante positivo. Segue do Teorema de CARTAN-DIEUDONNÉ que toda rotação do  $\mathbb{R}^4$  é o produto de 0, 2 ou 4 reflexões em hiperplanos.

### Proposição

*Seja  $u$  um quatérnio unitário. Então a reflexão de  $\mathbb{H}$  no hiperplano  $u^\perp$  é a aplicação  $x \mapsto -u\bar{x}u$ .*

*Demonstração.* A reflexão em  $\mathfrak{S}\mathbb{H} = 1^\perp$  é  $x \mapsto -\bar{x}$ . A multiplicação por  $u$  é uma isometria  $M_u$  que leva  $1$  em  $u$  e  $1^\perp$  em  $u^\perp$ , e portanto conjuga a reflexão  $R_1$  em  $1^\perp$  na reflexão  $R_u$  em  $u^\perp$ , isto é,

$$R_u = M_u \circ R_1 \circ M_u^{-1}.$$

Logo

$$R_u x = M_u R_1 M_u^{-1} x = M_u R_1(\bar{u}x) = M_u(-\bar{x}u) = -u\bar{x}u,$$

como desejado.  $\square$

## Teorema

*Toda rotação de  $\mathbb{R}^4$  se escreve na forma*

$$x \mapsto uxv$$

*onde  $u$  e  $v$  são quatérnions unitários.*

## Teorema

Toda rotação de  $\mathbb{R}^4$  se escreve na forma

$$x \mapsto uxv$$

onde  $u$  e  $v$  são quatérnions unitários.

*Dem.* Toda transformação desse tipo é uma isometria e tem determinante positivo (pois  $u$  e  $v$  podem cada um ser unidos a  $1 \in S^3 \subset \mathbb{H}$  por uma curva em  $S^3$ , e o determinante é uma função contínua).

## Teorema

Toda rotação de  $\mathbb{R}^4$  se escreve na forma

$$x \mapsto uxv$$

onde  $u$  e  $v$  são quatérnions unitários.

*Dem.* Toda transformação desse tipo é uma isometria e tem determinante positivo (pois  $u$  e  $v$  podem cada um ser unidos a  $1 \in S^3 \subset \mathbb{H}$  por uma curva em  $S^3$ , e o determinante é uma função contínua).

Reciprocamente, segue do Teorema de Cartan-Dieudonné e da proposição anterior que toda rotação é da forma

$$u_{2n} \cdots \bar{u}_3 u_2 \bar{u}_1 x \bar{u}_1 u_2 \bar{u}_3 \cdots u_{2n}$$

para quatérnions unitários.

## Teorema

Toda rotação de  $\mathbb{R}^4$  se escreve na forma

$$x \mapsto uxv$$

onde  $u$  e  $v$  são quatérnions unitários.

*Dem.* Toda transformação desse tipo é uma isometria e tem determinante positivo (pois  $u$  e  $v$  podem cada um ser unidos a  $1 \in S^3 \subset \mathbb{H}$  por uma curva em  $S^3$ , e o determinante é uma função contínua).

Reciprocamente, segue do Teorema de Cartan-Dieudonné e da proposição anterior que toda rotação é da forma

$$u_{2n} \cdots \bar{u}_3 u_2 \bar{u}_1 x \bar{u}_1 u_2 \bar{u}_3 \cdots u_{2n}$$

para quatérnions unitários. Essa transformação tem a forma desejada.  $\square$



Definamos agora

$$\rho : S^3 \times S^3 \rightarrow SO(4), \quad \rho(q_1, q_2)x = q_1 x q_2^{-1}.$$

Definamos agora

$$\rho : S^3 \times S^3 \rightarrow SO(4), \quad \rho(q_1, q_2)x = q_1 x q_2^{-1}.$$

Note que  $\rho(q_1, q_2)$  é de fato uma isometria de  $\mathbb{R}^4$  (por a norma ser multiplicativa) que preserva a orientação, e também que  $\rho$  é um homomorfismo de grupos.

Definamos agora

$$\rho : S^3 \times S^3 \rightarrow SO(4), \quad \rho(q_1, q_2)x = q_1 x q_2^{-1}.$$

Note que  $\rho(q_1, q_2)$  é de fato uma isometria de  $\mathbb{R}^4$  (por a norma ser multiplicativa) que preserva a orientação, e também que  $\rho$  é um homomorfismo de grupos. Além disso, segue do teorema anterior que  $\rho$  é sobrejetora.

Definamos agora

$$\rho : S^3 \times S^3 \rightarrow SO(4), \quad \rho(q_1, q_2)x = q_1 x q_2^{-1}.$$

Note que  $\rho(q_1, q_2)$  é de fato uma isometria de  $\mathbb{R}^4$  (por a norma ser multiplicativa) que preserva a orientação, e também que  $\rho$  é um homomorfismo de grupos. Além disso, segue do teorema anterior que  $\rho$  é sobrejetora. Finalmente,  $\ker \rho = \{\pm(1, 1)\}$ .

Definamos agora

$$\rho : S^3 \times S^3 \rightarrow SO(4), \quad \rho(q_1, q_2)x = q_1 x q_2^{-1}.$$

Note que  $\rho(q_1, q_2)$  é de fato uma isometria de  $\mathbb{R}^4$  (por a norma ser multiplicativa) que preserva a orientação, e também que  $\rho$  é um homomorfismo de grupos. Além disso, segue do teorema anterior que  $\rho$  é sobrejetora. Finalmente,  $\ker \rho = \{\pm(1, 1)\}$ . Segue que temos um isomorfismo de grupos (que é também um homeomorfismo):

$$SO(4) \cong S^3 \times S^3 / \{\pm(1, 1)\}.$$

Definamos agora

$$\rho : S^3 \times S^3 \rightarrow SO(4), \quad \rho(q_1, q_2)x = q_1 x q_2^{-1}.$$

Note que  $\rho(q_1, q_2)$  é de fato uma isometria de  $\mathbb{R}^4$  (por a norma ser multiplicativa) que preserva a orientação, e também que  $\rho$  é um homomorfismo de grupos. Além disso, segue do teorema anterior que  $\rho$  é sobrejetora. Finalmente,  $\ker \rho = \{\pm(1, 1)\}$ . Segue que temos um isomorfismo de grupos (que é também um homeomorfismo):

$$SO(4) \cong S^3 \times S^3 / \{\pm(1, 1)\}.$$

“Uma rotação de  $\mathbb{R}^4$  é um par de quatérnions unitários, a menos de multiplicação por  $-1$ .”

Cíclico	$\mathbb{Z}_n \subset SO(2)$	order $n$
Diedral	$D_n$	order $2n$

Cíclico	$\mathbb{Z}_n \subset SO(2)$	order $n$
Diedral	$D_n$	order $2n$







Seja  $G$  um subgrupo finito de  $SO(3)$ . Então  $G$  age na esfera unitária centrada na origem  $S^2$ .

Seja  $G$  um subgrupo finito de  $SO(3)$ . Então  $G$  age na esfera unitária centrada na origem  $S^2$ . Um *pólo* de  $G$  é um ponto de  $S^2$  fixo por algum elemento de  $G$  que não é a identidade.

Seja  $G$  um subgrupo finito de  $SO(3)$ . Então  $G$  age na esfera unitária centrada na origem  $S^2$ . Um *pólo* de  $G$  é um ponto de  $S^2$  fixo por algum elemento de  $G$  que não é a identidade. O conjunto  $P$  de pólos é finito, tem cardinalidade par e é invariante por  $G$ .

Seja  $G$  um subgrupo finito de  $SO(3)$ . Então  $G$  age na esfera unitária centrada na origem  $S^2$ . Um *pólo* de  $G$  é um ponto de  $S^2$  fixo por algum elemento de  $G$  que não é a identidade. O conjunto  $P$  de pólos é finito, tem cardinalidade par e é invariante por  $G$ . (De fato, se  $p \in P$  é fixo por  $g \in G$ , então para todo  $h \in G$  temos que  $hp$  é fixo por  $hgh^{-1}$ .)

Seja  $G$  um subgrupo finito de  $SO(3)$ . Então  $G$  age na esfera unitária centrada na origem  $S^2$ . Um *pólo* de  $G$  é um ponto de  $S^2$  fixo por algum elemento de  $G$  que não é a identidade. O conjunto  $P$  de pólos é finito, tem cardinalidade par e é invariante por  $G$ . (De fato, se  $p \in P$  é fixo por  $g \in G$ , então para todo  $h \in G$  temos que  $hp$  é fixo por  $hgh^{-1}$ .) Seja  $r$  o número de órbitas de  $G$  em  $P$ , e escolhamos um ponto  $p_i$  em cada órbita. Então:

Seja  $G$  um subgrupo finito de  $SO(3)$ . Então  $G$  age na esfera unitária centrada na origem  $S^2$ . Um *pólo* de  $G$  é um ponto de  $S^2$  fixo por algum elemento de  $G$  que não é a identidade. O conjunto  $P$  de pólos é finito, tem cardinalidade par e é invariante por  $G$ . (De fato, se  $p \in P$  é fixo por  $g \in G$ , então para todo  $h \in G$  temos que  $hp$  é fixo por  $hgh^{-1}$ .) Seja  $r$  o número de órbitas de  $G$  em  $P$ , e escolhamos um ponto  $p_i$  em cada órbita. Então:

$$2 \left( 1 - \frac{1}{|G|} \right) = \sum_{i=1}^r \left( 1 - \frac{1}{|G_{p_i}|} \right).$$

Seja  $G$  um subgrupo finito de  $SO(3)$ . Então  $G$  age na esfera unitária centrada na origem  $S^2$ . Um *pólo* de  $G$  é um ponto de  $S^2$  fixo por algum elemento de  $G$  que não é a identidade. O conjunto  $P$  de pólos é finito, tem cardinalidade par e é invariante por  $G$ . (De fato, se  $p \in P$  é fixo por  $g \in G$ , então para todo  $h \in G$  temos que  $hp$  é fixo por  $hgh^{-1}$ .) Seja  $r$  o número de órbitas de  $G$  em  $P$ , e escolhamos um ponto  $p_i$  em cada órbita. Então:

$$2 \left( 1 - \frac{1}{|G|} \right) = \sum_{i=1}^r \left( 1 - \frac{1}{|G_{p_i}|} \right).$$

(Esta equação segue da fórmula de RIEMANN-HURWITZ para recobrimentos ramificados ou, mais simplesmente, da fórmula de BURNSIDE

$$r = \frac{1}{|G|} \sum_{g \in G} |\text{Fix}(g)|.$$



Seja  $G$  um subgrupo finito de  $SO(3)$ . Então  $G$  age na esfera unitária centrada na origem  $S^2$ . Um *pólo* de  $G$  é um ponto de  $S^2$  fixo por algum elemento de  $G$  que não é a identidade. O conjunto  $P$  de pólos é finito, tem cardinalidade par e é invariante por  $G$ . (De fato, se  $p \in P$  é fixo por  $g \in G$ , então para todo  $h \in G$  temos que  $hp$  é fixo por  $hgh^{-1}$ .) Seja  $r$  o número de órbitas de  $G$  em  $P$ , e escolhamos um ponto  $p_i$  em cada órbita. Então:

$$2 \left( 1 - \frac{1}{|G|} \right) = \sum_{i=1}^r \left( 1 - \frac{1}{|G_{p_i}|} \right).$$

(Esta equação segue da fórmula de RIEMANN-HURWITZ para recobrimentos ramificados ou, mais simplesmente, da fórmula de BURNSIDE

$r = \frac{1}{|G|} \sum_{g \in G} |\text{Fix}(g)|$ .) Uma busca sistemática das soluções inteiras positivas nos dá a classificação: ( $n_i = |G_{p_i}|$ )

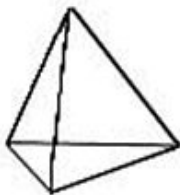
Seja  $G$  um subgrupo finito de  $SO(3)$ . Então  $G$  age na esfera unitária centrada na origem  $S^2$ . Um pólo de  $G$  é um ponto de  $S^2$  fixo por algum elemento de  $G$  que não é a identidade. O conjunto  $P$  de pólos é finito, tem cardinalidade par e é invariante por  $G$ . (De fato, se  $p \in P$  é fixo por  $g \in G$ , então para todo  $h \in G$  temos que  $hp$  é fixo por  $hgh^{-1}$ .) Seja  $r$  o número de órbitas de  $G$  em  $P$ , e escolhamos um ponto  $p_i$  em cada órbita. Então:

$$2 \left( 1 - \frac{1}{|G|} \right) = \sum_{i=1}^r \left( 1 - \frac{1}{|G_{p_i}|} \right).$$

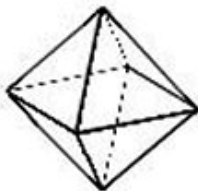
(Esta equação segue da fórmula de RIEMANN-HURWITZ para recobrimentos ramificados ou, mais simplesmente, da fórmula de BURNSIDE

$r = \frac{1}{|G|} \sum_{g \in G} |\text{Fix}(g)|$ .) Uma busca sistemática das soluções inteiras positivas nos dá a classificação: ( $n_i = |G_{p_i}|$ )

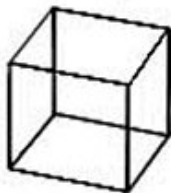
Grupo	Classe de isom.	Ordem	$(n_1, \dots, n_r)$
Cíclico $C_n$	$\mathbb{Z}_n$	$n$	$(n, n)$
Diedral $D_n$	$D_n$	$2n$	$(2, 2, n)$
Tetraedral $T$	$A_4$	12	$(2, 3, 3)$
Octaedral $O$	$S_4$	24	$(2, 3, 4)$
Icosaedral $I$	$A_5$	60	$(2, 3, 5)$



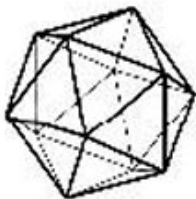
**Tetrahedron**



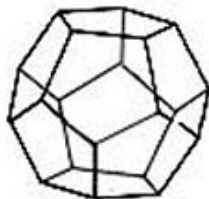
**Octahedron**



**Cube**



**Icosahedron**



**Dodecahedron**



As pré-imagens dos subgrupos finitos de  $SO(3)$  pelo recobrimento duplo  $S^3 = SU(2) \rightarrow SO(3)$  fornecem exemplos subgrupos finitos de  $SU(2)$ .

As pré-imagens dos subgrupos finitos de  $SO(3)$  pelo recobrimento duplo  $S^3 = SU(2) \rightarrow SO(3)$  fornecem exemplos subgrupos finitos de  $SU(2)$ . Esses são os chamados *grupos poliedrais binários*:

Grupo	Ordem
$C_n = \{e^{2\pi ik} \mid k = 0, \dots, n-1\}$	$n$
$D_n^* = C_n \cup jC_n$	$2n$
$T^* = D_2^* \cup \{(\pm 1 \pm i \pm j \pm k)/2\}$	$24$
$O^* = T^* \cup ((1+i)/\sqrt{2})T^*$	$48$
$I^* = T^* \cup \sigma T^* \cup \sigma^2 T^* \cup \sigma^3 T^* \cup \sigma^4 T^*$	$120$

Aqui  $D_2^* = \{\pm 1, \pm i, \pm j, \pm k\}$ ,  $\sigma = \frac{1}{2}(\tau + i + j/\tau)$  e  $\tau = \frac{1}{2}(1 + \sqrt{5})$  é a razão áurea.

As pré-imagens dos subgrupos finitos de  $SO(3)$  pelo recobrimento duplo  $S^3 = SU(2) \rightarrow SO(3)$  fornecem exemplos subgrupos finitos de  $SU(2)$ . Esses são os chamados *grupos poliedrais binários*:

Grupo	Ordem
$C_n = \{e^{2\pi ik} \mid k = 0, \dots, n-1\}$	$n$
$D_n^* = C_n \cup jC_n$	$2n$
$T^* = D_2^* \cup \{(\pm 1 \pm i \pm j \pm k)/2\}$	24
$O^* = T^* \cup ((1+i)/\sqrt{2})T^*$	48
$I^* = T^* \cup \sigma T^* \cup \sigma^2 T^* \cup \sigma^3 T^* \cup \sigma^4 T^*$	120

Aqui  $D_2^* = \{\pm 1, \pm i, \pm j, \pm k\}$ ,  $\sigma = \frac{1}{2}(\tau + i + j/\tau)$  e  $\tau = \frac{1}{2}(1 + \sqrt{5})$  é a razão áurea. É fácil mostrar que essa lista exaure todos os subgroups finitos de  $SU(2)$ .

As pré-imagens dos subgrupos finitos de  $SO(3)$  pelo recobrimento duplo  $S^3 = SU(2) \rightarrow SO(3)$  fornecem exemplos subgrupos finitos de  $SU(2)$ . Esses são os chamados *grupos poliedrais binários*:

Grupo	Ordem
$C_n = \{e^{2\pi ik} \mid k = 0, \dots, n-1\}$	$n$
$D_n^* = C_n \cup jC_n$	$2n$
$T^* = D_2^* \cup \{(\pm 1 \pm i \pm j \pm k)/2\}$	$24$
$O^* = T^* \cup ((1+i)/\sqrt{2})T^*$	$48$
$I^* = T^* \cup \sigma T^* \cup \sigma^2 T^* \cup \sigma^3 T^* \cup \sigma^4 T^*$	$120$

Aqui  $D_2^* = \{\pm 1, \pm i, \pm j, \pm k\}$ ,  $\sigma = \frac{1}{2}(\tau + i + j/\tau)$  e  $\tau = \frac{1}{2}(1 + \sqrt{5})$  é a razão áurea. É fácil mostrar que essa lista exaure todos os subgrupos finitos de  $SU(2)$ . Cada um desses grupos age (sem pontos fixos) em  $S^3 = SU(2)$  por multiplicação à esquerda, e o quociente é uma variedade de dimensão 3.



As pré-imagens dos subgrupos finitos de  $SO(3)$  pelo recobrimento duplo  $S^3 = SU(2) \rightarrow SO(3)$  fornecem exemplos subgrupos finitos de  $SU(2)$ . Esses são os chamados *grupos poliedrais binários*:

Grupo	Ordem
$C_n = \{e^{2\pi ik} \mid k = 0, \dots, n-1\}$	$n$
$D_n^* = C_n \cup jC_n$	$2n$
$T^* = D_2^* \cup \{(\pm 1 \pm i \pm j \pm k)/2\}$	$24$
$O^* = T^* \cup ((1+i)/\sqrt{2})T^*$	$48$
$I^* = T^* \cup \sigma T^* \cup \sigma^2 T^* \cup \sigma^3 T^* \cup \sigma^4 T^*$	$120$

Aqui  $D_2^* = \{\pm 1, \pm i, \pm j, \pm k\}$ ,  $\sigma = \frac{1}{2}(\tau + i + j/\tau)$  e  $\tau = \frac{1}{2}(1 + \sqrt{5})$  é a razão áurea. É fácil mostrar que essa lista exaure todos os subgrupos finitos de  $SU(2)$ . Cada um desses grupos age (sem pontos fixos) em  $S^3 = SU(2)$  por multiplicação à esquerda, e o quociente é uma variedade de dimensão 3. Por exemplo,  $S^3/I^*$  é a *espaço dodecaedral de POINCARÉ*: tem a homologia da 3-esfera, mas não é simplesmente conexa (importante na formulação da Conjectura de Poincaré e no desenvolvimento da Topologia Algébrica).

As pré-imagens dos subgrupos finitos de  $SO(3)$  pelo recobrimento duplo  $S^3 = SU(2) \rightarrow SO(3)$  fornecem exemplos subgrupos finitos de  $SU(2)$ . Esses são os chamados *grupos poliedrais binários*:

Grupo	Ordem
$C_n = \{e^{2\pi i k} \mid k = 0, \dots, n-1\}$	$n$
$D_n^* = C_n \cup jC_n$	$2n$
$T^* = D_2^* \cup \{(\pm 1 \pm i \pm j \pm k)/2\}$	$24$
$O^* = T^* \cup ((1+i)/\sqrt{2})T^*$	$48$
$I^* = T^* \cup \sigma T^* \cup \sigma^2 T^* \cup \sigma^3 T^* \cup \sigma^4 T^*$	$120$

Aqui  $D_2^* = \{\pm 1, \pm i, \pm j, \pm k\}$ ,  $\sigma = \frac{1}{2}(\tau + i + j/\tau)$  e  $\tau = \frac{1}{2}(1 + \sqrt{5})$  é a razão áurea. É fácil mostrar que essa lista exaure todos os subgrupos finitos de  $SU(2)$ . Cada um desses grupos age (sem pontos fixos) em  $S^3 = SU(2)$  por multiplicação à esquerda, e o quociente é uma variedade de dimensão 3. Por exemplo,  $S^3/I^*$  é a *espaço dodecaedral de POINCARÉ*: tem a homologia da 3-esfera, mas não é simplesmente conexa (importante na formulação da Conjectura de Poincaré e no desenvolvimento da Topologia Algébrica).

Subgrupos finitos de  $SO(4) \cong SU(2) \times_{\mathbb{Z}_2} SU(2)$  são subgrupos finitos de  $P_1 \times_{\mathbb{Z}_2} P_2$ , onde  $P_1, P_2$  são grupos poliedrais binários.



Escrevamos  $S^3 = \{(z, w) \in \mathbb{C}^2 \mid |z|^2 + |w|^2 = 1\}$ .

Escrevamos  $S^3 = \{(z, w) \in \mathbb{C}^2 \mid |z|^2 + |w|^2 = 1\}$ . Definamos

$$f : S^3 \rightarrow \mathbb{R} \quad f(z, w) = |z|^2 - |w|^2.$$

Escrevamos  $S^3 = \{(z, w) \in \mathbb{C}^2 \mid |z|^2 + |w|^2 = 1\}$ . Definamos

$$f : S^3 \rightarrow \mathbb{R} \quad f(z, w) = |z|^2 - |w|^2.$$

Então cada conjunto de nível ( $-1 \leq r \leq 1$ )

$$f^{-1}(r)$$

é um produto de dois círculos, ou *toro*:

$$T_r : |z| = \sqrt{\frac{1+r}{2}}, |w| = \sqrt{\frac{1-r}{2}}.$$

Escrevamos  $S^3 = \{(z, w) \in \mathbb{C}^2 \mid |z|^2 + |w|^2 = 1\}$ . Definamos

$$f : S^3 \rightarrow \mathbb{R} \quad f(z, w) = |z|^2 - |w|^2.$$

Então cada conjunto de nível ( $-1 \leq r \leq 1$ )

$$f^{-1}(r)$$

é um produto de dois círculos, ou *toro*:

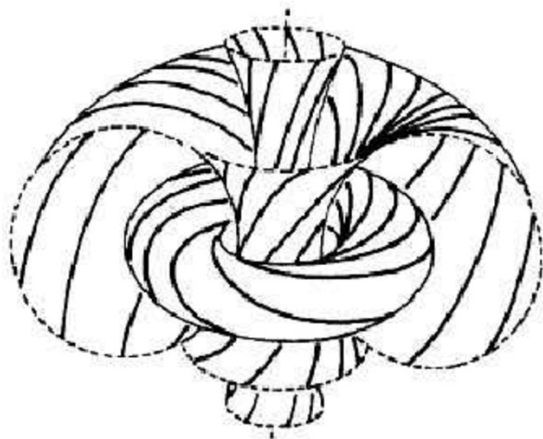
$$T_r : |z| = \sqrt{\frac{1+r}{2}}, |w| = \sqrt{\frac{1-r}{2}}.$$

Agora

$$\cup_{r \leq 0} T_r \quad \text{e} \quad \cup_{r \geq 0} T_r$$

descrevem dois toros sólidos, colados ao longo de sua fronteira comum

$$T_0 : |z| = |w| = 1/\sqrt{2}.$$







Continuemos a ver  $S^3 \subset \mathbb{C}^2$ , e consideremos também  $S^2 \subset \mathbb{R} \times \mathbb{C}$ .

Continuemos a ver  $S^3 \subset \mathbb{C}^2$ , e consideremos também  $S^2 \subset \mathbb{R} \times \mathbb{C}$ . Definamos então

$$h : S^3 \rightarrow S^2, \quad h(z, w) = (|z|^2 - |w|^2, 2z\bar{w}).$$

Continuemos a ver  $S^3 \subset \mathbb{C}^2$ , e consideremos também  $S^2 \subset \mathbb{R} \times \mathbb{C}$ . Definamos então

$$h : S^3 \rightarrow S^2, \quad h(z, w) = (|z|^2 - |w|^2, 2z\bar{w}).$$

$h$  está bem definida e é contínua (e suave).

Continuemos a ver  $S^3 \subset \mathbb{C}^2$ , e consideremos também  $S^2 \subset \mathbb{R} \times \mathbb{C}$ . Definamos então

$$h : S^3 \rightarrow S^2, \quad h(z, w) = (|z|^2 - |w|^2, 2z\bar{w}).$$

$h$  está bem definida e é contínua (e suave). Note que  $h$  é constante nos círculos máximos de  $S^3$  dados por

$$S^1(z, w) = \{(e^{i\theta} z, e^{i\theta} w) \mid \theta \in \mathbb{R}\},$$

Continuemos a ver  $S^3 \subset \mathbb{C}^2$ , e consideremos também  $S^2 \subset \mathbb{R} \times \mathbb{C}$ . Definamos então

$$h : S^3 \rightarrow S^2, \quad h(z, w) = (|z|^2 - |w|^2, 2z\bar{w}).$$

$h$  está bem definida e é contínua (e suave). Note que  $h$  é constante nos círculos máximos de  $S^3$  dados por

$$S^1(z, w) = \{(e^{i\theta} z, e^{i\theta} w) \mid \theta \in \mathbb{R}\},$$

e, de fato, esses círculos são exatamente os conjuntos de nível de  $h$ , como é fácil calcular.

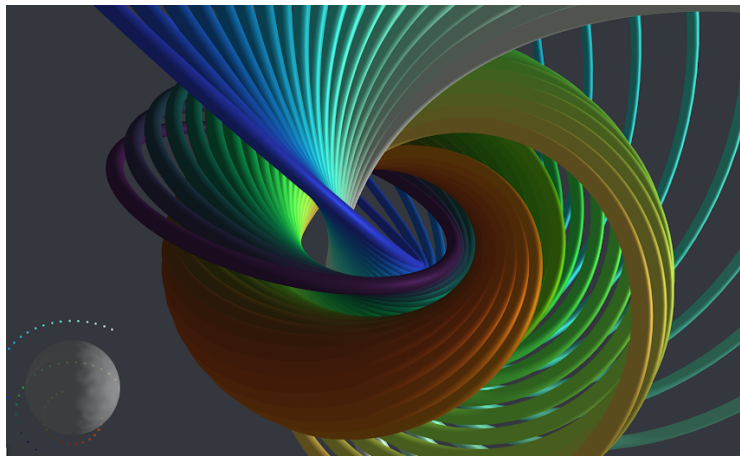
Continuemos a ver  $S^3 \subset \mathbb{C}^2$ , e consideremos também  $S^2 \subset \mathbb{R} \times \mathbb{C}$ . Definamos então

$$h : S^3 \rightarrow S^2, \quad h(z, w) = (|z|^2 - |w|^2, 2z\bar{w}).$$

$h$  está bem definida e é contínua (e suave). Note que  $h$  é constante nos círculos máximos de  $S^3$  dados por

$$S^1(z, w) = \{(e^{i\theta} z, e^{i\theta} w) \mid \theta \in \mathbb{R}\},$$

e, de fato, esses círculos são exatamente os conjuntos de nível de  $h$ , como é fácil calcular. A folheação de  $S^3$  por toros é dada pelas pré-imagens da folheação de  $S^2$  por círculos de latitude.





Dois círculos de nível de  $h$  estão visivelmente “enlaçados”.

Dois círculos de nível de  $h$  estão visivelmente “enlaçados”. Isso mostra que  $h$  não pode ser continuamente deformada a uma aplicação constante  $S^3 \rightarrow S^2$ , que leva todo o  $S^3$  em um único ponto.

Dois círculos de nível de  $h$  estão visivelmente “enlaçados”. Isso mostra que  $h$  não pode ser continuamente deformada a uma aplicação constante  $S^3 \rightarrow S^2$ , que leva todo o  $S^3$  em um único ponto. Nós expressamos isso formalmente dizendo que o terceiro grupo de homotopia  $\pi_3(S^2)$  é não-trivial.

Dois círculos de nível de  $h$  estão visivelmente “enlaçados”. Isso mostra que  $h$  não pode ser continuamente deformada a uma aplicação constante  $S^3 \rightarrow S^2$ , que leva todo o  $S^3$  em um único ponto. Nós expressamos isso formalmente dizendo que o terceiro grupo de homotopia  $\pi_3(S^2)$  é não-trivial. A descoberta de HOPF, em 1931, durante os primórdios do desenvolvimento da teoria de homotopia, causou grande impacto, pois mostrou que, ao contrário das expectativas da época, os grupos de homotopia podem ser mais complicados do que os grupos de homologia ( $H_3(S^2) = \{0\}$ ).



HEINZ HOPF (1894-1971).

Escolher um dos seguintes tópicos e dissertar livremente:

1. Os octônions.
2. Subgrupos finitos de  $SO(3)$ ,  $O(3)$ ,  $SO(4)$ , etc.
3. O espaço dodecaedral de Poincaré.
4. A fibração de Hopf.
5. A fórmula de Riemann-Hurwitz.

Escrever, no máximo, cinco páginas, excluindo figuras e referências. O prazo para entrega é de até 07/12.

Escolher um dos seguintes tópicos e dissertar livremente:

1. Os octônions.
2. Subgrupos finitos de  $SO(3)$ ,  $O(3)$ ,  $SO(4)$ , etc.
3. O espaço dodecaedral de Poincaré.
4. A fibração de Hopf.
5. A fórmula de Riemann-Hurwitz.

Escrever, no máximo, cinco páginas, excluindo figuras e referências. O prazo para entrega é de até 07/12.

*Bibliografia sugerida:*

- Toth, Gabor. Glimpses of algebra and geometry. Second edition. Undergraduate Texts in Mathematics. Readings in Mathematics. Springer-Verlag, New York, 2002. (Tópicos 2 e 4)
- Conway, John H.; Smith, Derek A. On quaternions and octonions: their geometry, arithmetic, and symmetry. A K Peters, Ltd., Natick, MA, 2003. (Tópico 1)
- Thurston, William P. Three-dimensional geometry and topology. Vol. 1. Edited by Silvio Levy. Princeton Mathematical Series, 35. Princeton University Press, Princeton, NJ, 1997. (Tópicos 3 e 4)
- Zimmermann, Bruno P. On finite groups acting on spheres and finite subgroups of orthogonal groups. Sib. Elektron. Mat. Izv. 9 (2012), 1–12. (E-print arXiv:1108.2602 [math.GT]) (Tópicos 2 e 5)
- Arapura, Donu. Notes on Algebra, 2017. (<https://www.math.purdue.edu/~arapura/algebra/algebra.pdf>) (Tópico 2)
- Baez, John C. The octonions. Bull. Amer. Math. Soc. (N.S.) 39 (2002), no. 2, 145–205. (<https://math.ucr.edu/home/baez/octonions/>) (Tópico 1)